

## ผลกระทบของการไหลแบบเป็นจังหวะที่มีต่อการไหลหมุนและการถ่ายเทความร้อน

### The effect of pulsating flow on the recirculation flow and heat transfer

พ.ต. อโนทัย สุขแสงพนมรุ้ง<sup>1\*</sup> ศุภชาติ จงไพบูลย์พัฒนา<sup>2</sup>

<sup>1</sup> กองวิชาชีวกรรมเครื่องกล ส่วนการศึกษา โรงเรียนนายร้อยพระจุลจอมเกล้า

อ. เมือง นครนายก 26001 โทร/โทรสาร 037-393487, E-mail: [asuksang@crma.ac.th](mailto:asuksang@crma.ac.th)

<sup>2</sup> ภาควิชาเทคโนโลยีพลังงาน วิศวกรรมเครื่องกลและอุตสาหกรรม สถาบันเทคโนโลยีนานาชาติสิรินธร มหาวิทยาลัยธรรมศาสตร์

อ.คลองหลวง จ.ปทุมธานี 12121, E-mail: [Supachar@siit.tu.ac.th](mailto:Supachar@siit.tu.ac.th)

Maj. Anotai Suksangpanomrung<sup>1\*</sup> Supachart Chungpaibulpatana<sup>2</sup>

<sup>1</sup>Department of Mechanical Engineering, Academic Division, Chulachomklao Royal Military Academy

Maung, Nakorn-Nayok, 26001, Tel/Fax: 037-393487, E-mail: [asuksang@crma.ac.th](mailto:asuksang@crma.ac.th)

<sup>2</sup>Department of Energy Technology, Industrial and Mechanical Engineering, SIIT, Thammasat University at Rangsit

Pathumthani 12121, Thailand, E-mail: [Supachar@siit.tu.ac.th](mailto:Supachar@siit.tu.ac.th)

#### บทคัดย่อ

งานวิจัยนี้เป็นการคำนวณเชิงตัวเลขผ่านเครื่องคอมพิวเตอร์เพื่อศึกษาผลกระทบของการไหลแบบเป็นจังหวะที่มีรูปแบบเป็นคลื่นไซน์ (sinusoidal wave) ที่มีต่อbeckage ไหลหมุนวน และการถ่ายเทความร้อนของครีบ การคำนวณได้กระทำที่ค่าคงที่ของ Reynolds (Re<sub>d</sub>) เท่ากับ 250 และ 400 โดยจะมีการปรับเปลี่ยนค่าความถี่ (f = 0.1-0.9) และค่าขนาดความแรง (A = 0.1-0.6) ของกระแสการไหลแบบคลื่นไซน์ จากการคำนวณพบว่ากระแสการไหลเข้าแบบเป็นจังหวะจะเป็นตัวสร้างความไม่สม่ำเสมอให้เกิดขึ้นในกระแสการไหล และก่อให้เกิดการไหลแบบสภาวะไม่คงตัว โดยมีการแตกตัวและการเคลื่อนที่ของวอร์เต็กซ์ขึ้น ค่าความยาวของเขตการไหลหมุนวนถูกทำให้ลดลงสูงสุดถึง 76% และประสิทธิภาพการถ่ายเทความร้อนโดยรวมมีค่าเพิ่มขึ้นประมาณ 66.3% ที่ Re<sub>d</sub> = 400, A = 0.1 และ f = 0.3 โดยค่าความถี่ที่ 0.3 นี้คือค่าความถี่เหมาะสม

#### Abstract

The numerical simulations of the flow and convective heat transfer over a bluff rectangular plate are performed with the inlet sinusoidal pulsating flow. The objective of this research is to study the effect of the sinusoidal pulsating flow over the recirculation flow and the rate of heat transfer of the rectangular fin. The computational is performed at the Reynolds number of 250 and 400 by varying the frequency (f = 0.1-0.9) and the amplitude (A = 0.1-0.6) of the incoming flow. The results found that sinusoidal pulsating flow perturb the dynamic of the flow and

introduce the unsteadiness to the flow. The vortex breakdown and vortex shedding is clearly seen at this low Reynolds number. The length of the separation bubble is reduced by 76% and the rate of the averaged total heat transfer is increased by 66.3% for the case Re<sub>d</sub> = 400, A = 0.1 and f = 0.3. The optimal frequency is found to be 0.3.

#### 1. บทนำ (Introduction)

อุปกรณ์และเปลี่ยนความร้อนเป็นเครื่องมือสำคัญที่ใช้ในการผลิตและเปลี่ยนความร้อนระหว่างตัวกลางสองตัวกลางที่มีความแตกต่างของอุณหภูมิ ปัจจุบันนี้ได้มีการนำเอาอุปกรณ์และเปลี่ยนความร้อนมาใช้ประโยชน์กันอย่างแพร่หลาย ไม่ว่าจะเป็นโรงงานอุตสาหกรรม อาคารบ้านเรือนที่มีระบบทำความเย็น ดูเย็นที่ใช้ในครัวเรือน หรือห้องทดลอง เครื่องมืออิเล็กทรอนิกส์ต่างๆ เป็นต้น ดังนั้นการออกแบบอุปกรณ์และเปลี่ยนความร้อนเพื่อให้เหมาะสมกับประเภทของงานจึงมีความสำคัญเป็นอย่างมาก ปัจจัยสำคัญประการหนึ่งคือการศึกษาลักษณะของการไหลของของไหลที่ทำงานผ่านครีบและเปลี่ยนความร้อนเป็นการไหลแบบแตกแยก (separated flow) เมื่อของไหลทำงานไหลมาระยะหักครีบที่ด้านบนและด้านล่างของครีบ จะเกิดการไหลย้อนกลับ (backflow) ขึ้น โดยปกติแล้วการไหลย้อนกลับนี้เมื่อรวมกับการไหลในทิศทางหลักแล้ว ก็จะก่อให้เกิดbeckage ไหลหมุนวน (recirculation flow) ขึ้น ซึ่งbeckage ไหลหมุนวนนี้จะเป็นตัวลดประสิทธิภาพในการแลกเปลี่ยนความร้อนระหว่างของไหลกับครีบและเปลี่ยนความร้อน

จากการศึกษาทราบว่าการไหลของของไหลทำงานผ่านครีบและเปลี่ยนความร้อนเป็นการไหลแบบแตกแยก (separated flow) เมื่อของไหลทำงานไหลมาระยะหักครีบที่ด้านบนและด้านล่างของครีบ จะเกิดการไหลย้อนกลับ (backflow) ขึ้น โดยปกติแล้วการไหลย้อนกลับนี้เมื่อรวมกับการไหลในทิศทางหลักแล้ว ก็จะก่อให้เกิดbeckage ไหลหมุนวน (recirculation flow) ขึ้น ซึ่งbeckage ไหลหมุนวนนี้จะเป็นตัวลดประสิทธิภาพในการแลกเปลี่ยนความร้อนระหว่างของไหลกับครีบและเปลี่ยนความร้อน

\*Corresponding author

สิทธิภาพในการแลกเปลี่ยนความร้อนระหว่างไหลที่มีพื้นผิวของเครื่องเปลี่ยนความร้อน[1] จากการวิจัยที่ผ่านมาได้มีการศึกษาถึงแนวทางในการลดขนาดของเขตการไหลหมุนวนที่เกิดขึ้นที่ด้านบนและด้านล่างของพื้นผิวของเครื่องให้มีขนาดสั้น โดยการเพิ่มค่าระดับความเข้มปั่นป่วน (turbulent intensity) ของกระแสการไหลที่ให้มาสู่เครื่อง จากการทดลองของ Hiller และ Cheery [2] พบร่วมค่าระดับความเข้มปั่นป่วนมีผลต่อนขนาดความยาวของการไหลหมุนวนบนเครื่องแลกเปลี่ยนความร้อน Houligan, Welch, Thompson, Cooper และ Welsh [3] ได้ทดลองใส่คลื่นเสียงในการเพิ่มประสิทธิภาพของการถ่ายเทความร้อนของเครื่อง ซึ่งจากการทดลองพบว่าสามารถเพิ่มประสิทธิภาพการถ่ายเทความร้อนของเครื่องได้เป็นอย่างดี

ในงานวิจัยครั้งนี้จะศึกษาการเพิ่มประสิทธิภาพของการถ่ายเทความร้อนของเครื่องแลกเปลี่ยนความร้อนที่มีรูปทรงสี่เหลี่ยมที่กำหนดให้มีความยาวอนันต์ โดยใช้วิธีการคำนวณเชิงตัวเลขทางพลศาสตร์ของไหลและการถ่ายเทความร้อน โดยจุดประสงค์หลักที่สำคัญคือการหาแนวทางในการลดขนาดของเขตการไหลหมุนวนที่เกิดขึ้นที่ด้านบนและด้านล่างของพื้นผิวของเครื่องให้มีขนาดสั้นที่สุด โดยวิธีที่นิยมคือการปรับแต่งกระแสการไหลเข้าของไหลให้มีรูปแบบการไหลเป็นแบบคลื่นไซน์ (sinusoidal wave) ที่มีขนาดความแรง (amplitude) และความถี่ (frequency) ต่างกัน ก่อนที่ของไหลนั้นจะมาระบบทรับแลกเปลี่ยนความร้อน ส້าหรับในทฤษฎีความฉบับนี้ได้มีการจัดเรียงหัวข้อสำคัญดังนี้ สมการควบคุมการไหล วิธีการวิเคราะห์เชิงตัวเลข ผลการคำนวณและการวิเคราะห์ สรุปผลและข้อเสนอแนะ กิตติกรรมประกาศ และเอกสารอ้างอิง

## 2. สมการควบคุมการไหล (Governing Equations)

แบบจำลองการไหลสำหรับการไหลผ่านเครื่องแลกเปลี่ยนความร้อน ถูกควบคุมด้วยสมการการไหลในสภาวะไม่คงตัวและที่อัดตัวไม่ได้ดังต่อไปนี้

สมการความต่อเนื่อง:

$$\frac{\partial u_i}{\partial x_i} = 0 \quad (1)$$

สมการอนุรักษ์ของโมเมนตัม:

$$\frac{\partial u_i}{\partial t} + \frac{\partial u_i u_j}{\partial x_j} = -\frac{1}{\rho} \frac{\partial p}{\partial x_i} + \nu \frac{\partial^2 u_i}{\partial x_j^2} \quad (2)$$

สมการอนุรักษ์ของพลังงาน:

$$\frac{\partial T}{\partial t} + \frac{\partial u_i T}{\partial x_i} = \alpha \frac{\partial^2 T}{\partial x_j^2} \quad (3)$$

## 3. วิธีการวิเคราะห์เชิงตัวเลข (Numerical Methods)

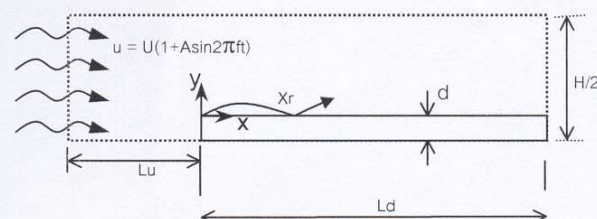
การคำนวณการไหลผ่านเครื่องระบบความร้อนจะถูกคำนวณบนกริดชั้นทับ (staggered grid) ด้วยวิธีการปริมาตรสี่เหลี่ยม (finite volume method) ทุกเทอมของสมการควบคุมการไหล จะถูก discretize ด้วย central differencing scheme สำหรับเทอมของเวลาใช้วิธีการ low storage 3<sup>rd</sup> order Runge-Kutta สมการความต่อเนื่อง และเทอมของความชันของความดัน (pressure gradient) ในสมการอนุรักษ์ของโมเมนตัมจะใช้แนวทางหาค่าตอบแบบอิมเพลชิต แต่เทอมการพา (convective terms) และเทอมการแพร่ (diffusive terms) และสมการอนุรักษ์พลังงานใช้แนวทางหาค่าตอบแบบอีกชั้นปลิชิต

สมการที่ (1) (2) และ (3) จะถูกคำนวณในขอบเขตแบบจำลองดังแสดงในรูปที่ 1 และรายละเอียดของตัวแปรต่างๆ ที่ใช้ในการคำนวณแสดงในตารางที่ 1 จำนวนกริดที่ใช้ในการคำนวณคือ  $118 \times 68$  ซึ่งจากการวิเคราะห์ข้อมูลเบื้องต้นพบว่า จำนวนกริดที่ใช้เมื่อมีความละเอียดพอสำหรับการคำนวณในสภาวะตัวว่า โดยค่าสภาวะของเวทที่ใช้ในการคำนวณถูกกำหนดเป็นดังนี้

- ทางเข้า: การไหลของกระแสแบบคลื่นไส้ ดังสมการ  $u = U(1+Asin2\pi ft)$  โดยที่  $U$  คือค่าความเร็วกระแสและรูปทรง มีค่าคงที่  $f$  คือค่าความถี่ และ  $A$  คือค่าขนาดความแรงของคลื่น สำหรับอุณหภูมิที่ทางเข้าถูกกำหนดให้มีค่าเป็น  $297 \text{ K}$
- ทางออก: สภาวะการไหลแบบพาออก (advection boundary condition)
- บนและล่าง: สภาวะสมมาตร (symmetry condition)
- คีร์บะยความร้อน: สภาพไม่มีการลื่นไถล (no slip condition) และค่าฟลักซ์ความร้อนคงที่สำหรับสมการอนุรักษ์พลังงาน

ตารางที่ 1 แสดงค่าตัวแปรต่างๆ ที่ใช้ในการคำนวณ

| $Re_d$ | $d$ | $H/2$ | $Pr$ | $Br = d/H$ | $Lu$ | $Ld$ | $f$     | $A$     |
|--------|-----|-------|------|------------|------|------|---------|---------|
| 250    | 1   | 8.75  | 0.7  | 5.7%       | 5.5  | 18   | 0.1-1.2 | 0.1     |
|        |     |       |      |            |      |      | 0.1-0.9 | 0.2-0.6 |
| 400    |     |       |      |            |      |      | 0.1-1.2 | 0.1     |



รูปที่ 1 ขอบเขตแบบจำลองการไหล

ในการคำนวณเชิงตัวเลขสำหรับปัญหาการถ่ายเทความร้อนนี้ จะทำการตรวจสอบที่ค่าคงที่ของเรynolds number ( $Re_d = ud/V$ ) ต่าที่  $Re_d = 250$  และ  $400$  ซึ่งจากการทดลองโดย Ota และ Kon

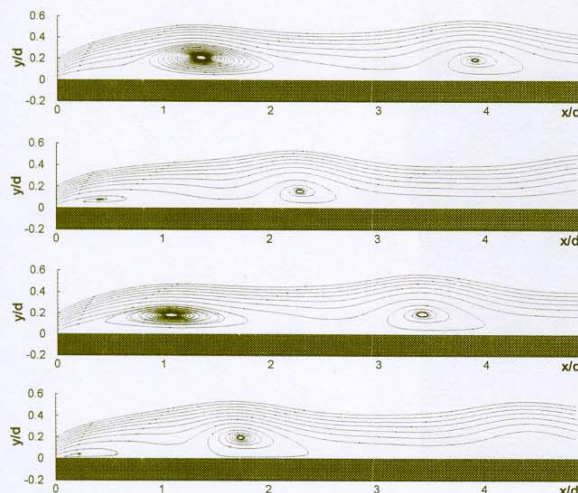
[4] พนวิการไหลที่เกิดขึ้นเป็นการไหลในสภาวะคงด้า ความแตกต่างของอุณหภูมิในแต่ละตำแหน่งของการไหลถูกสมมุติว่ามีค่าน้อยมาก ดังนั้นค่าคุณสมบัติต่างๆ ของของไหลจึงถูกพิจารณาไว้ค่าคงที่ อีกทั้งการถ่ายเทความร้อนที่เกิดขึ้นที่เครื่องถูกกำหนดว่าเป็นการพาความร้อนแบบบังคับเพียงอย่างเดียว

### 3. ผลการคำนวณและการวิจารณ์ (Results and Discussions)

#### 3.1 สนามการไหล (Flow Fields)

การศึกษาผลกระทบของกระแสการไหลเข้าที่เป็นจังหวะที่มีต่อนัดของเขตการไหลทุมวน ได้ถูกคำนวณที่ค่าคงที่ของเรโนลเท่ากับ 250 และ 400 ซึ่งเขตการไหลทุมวนนี้ถูกวัดจากตำแหน่งการแตกแยกของ การไหล (separation point) หรือจุดกำเนิดของแกน x-y "ไปยังตำแหน่งที่กระแสการไหลตกกระทบพื้นผิวของเครื่อง หรือตำแหน่งที่ค่าความเค้นเฉือน (shear stress) มีค่าเป็นศูนย์ ซึ่งระยะนี้ถูกเรียกว่า reattachment length ซึ่งใช้สัญลักษณ์เป็น  $\bar{X}_r$  ดังรูปที่ 1

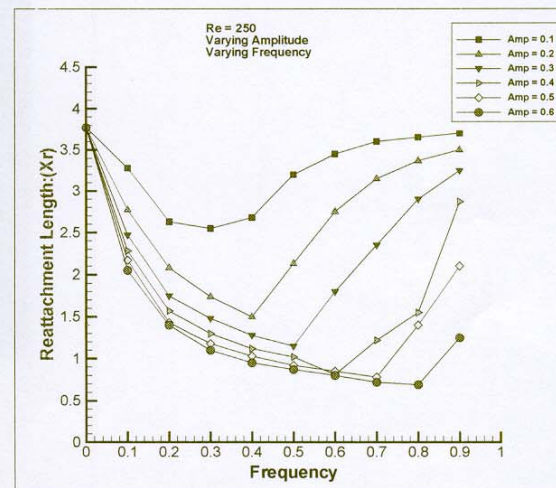
จากการคำนวณเชิงตัวเลขพบว่าการไหลที่เกิดขึ้นเป็นการไหลที่อยู่ในสภาวะไม่คงด้า เนื่องมาจากมีการแตกตัวของค่าวอร์เทกซ์ ซึ่งผลการคำนวณนี้คล้ายกับผลการคำนวณของ Djilali และคณะ [5] ที่ค่า  $Br = 20\%$  ซึ่งกล่าวไว้ว่ากระแสการไหลเข้าเป็นจังหวะจะเป็นตัวสร้างความไม่เสถียรให้เกิดแก่กระแสการไหลหลักและจะเป็นตัวบังคับให้การไหลถูกเข้าสู่สภาวะไม่คงด้า รูปที่ 2 เป็นการแสดงสันสายราชการการไหล (streamline) ของของไหลเมื่อมีกระแสการไหลเข้าเป็นจังหวะ จากการสังเกตพบว่าวอร์เทกซ์ที่ก่อตัวจะเคลื่อนที่ด้วยความถี่ค่อนข้างคงที่และแตกตัวแบบช้า (periodic) เนื่องจาก การไหลที่เกิดเป็นแบบสภาวะไม่คงดัวดังนั้นในการคำนวณครั้งนี้ค่า  $\bar{X}_r$  จึงต้องทำการเฉลี่ยเทียบกับเวลา หรือ time-averaged reattachment length ซึ่งจะใช้สัญลักษณ์  $\bar{X}_r$



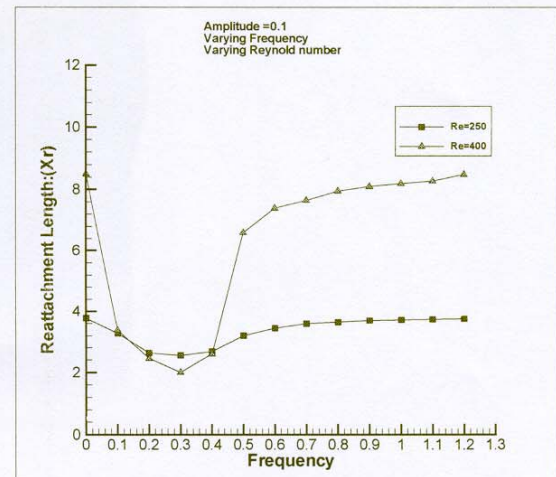
รูปที่ 2 เส้นสายราชการการไหล (streamline) ในทุกหัว 2 หน่วยเวลา:

$Re_d = 250$ ,  $f = 0.2$  และ  $A = 0.1$

จากการคำนวณพบว่าค่าความถี่และค่าขนาดความแรงของกระแสไฟไหลเข้ามีผลอย่างมากต่อค่า  $\bar{X}_r$  จากรูปที่ 3 ค่า  $\bar{X}_r$  สำหรับกรณีที่ไม่มีผลกระทบของ การไหลเข้าแบบเป็นจังหวะมีค่าเป็น  $3.78d$  ซึ่งมีค่าใกล้เคียงกับผลการทดลองที่ผ่านมา [6] และจากผลการคำนวณเชิงตัวเลข [7] ในกรณีที่เรากำหนดให้กระแสการไหลที่ไหลเข้าเป็นจังหวะ พนวิการที่ค่าขนาดความแรงของกระแสเดียวกัน ค่า  $\bar{X}_r$  มีค่าลดลงเมื่อค่าความถี่เพิ่มขึ้น ขนาดของ  $\bar{X}_r$  จะลดลงจนเมื่อขนาดเล็กที่สุดที่ค่าความถี่หนึ่ง เมื่อความถูกเพิ่มขึ้นจากค่าหนึ่ง เราพบว่าค่า  $\bar{X}_r$  จะมีค่าเพิ่มขึ้น ค่าความถี่ที่ให้ขนาดของ  $\bar{X}_r$  มีค่าน้อยสุดถูกกำหนดว่าเป็นค่าความถี่เหมาะสม (optimal frequency) ในทำนองเดียวกันเราพบว่าค่าความถี่เหมาะสมนี้ยังแปรผันกับค่าขนาดความแรงอีกด้วย เมื่อค่า  $Re_d$  ถูกเพิ่มเป็น 400 จากการเบรี่ยนเทียนที่ค่าขนาดความแรงท่ากับ 0.1 พบร่วงนักและผลกระทบลดลงและเพิ่มขึ้นของค่า  $\bar{X}_r$  คล้ายกับกรณีที่ค่า  $Re_d = 250$  สำหรับค่าขนาดความแรงที่ 0.1 นี้ ค่าความถี่เหมาะสมของห้องสองค่าของ  $Re_d$  อยู่ที่ประมาณ 0.3 ดังแสดงในรูปที่ 4



รูปที่ 3 ผลกระทบของความถี่และความแรงที่มีผลต่อค่า  $\bar{X}_r$ :  $Re = 250$



รูปที่ 4 ผลกระทบของความถี่ที่มีผลต่อค่า  $\bar{X}_r$ :  $A = 0.1$

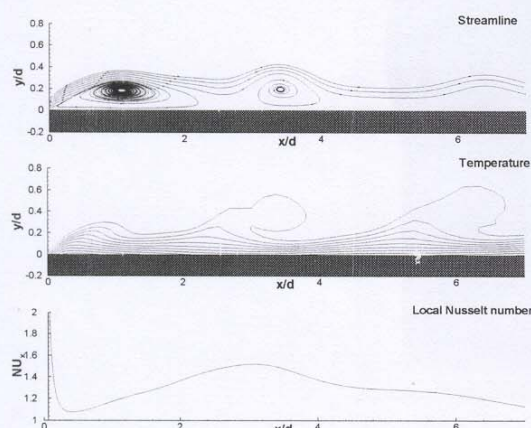
จากการวิเคราะห์ขนาดหรือความยาวของเขตการไหลหมุนวนกรณี  $Re_d = 250$  พบว่าความยาวของเขตการไหลหมุนวนถูกทำให้ลดลงประมาณ 33% สำหรับค่าขนาดความแรง 0.1 และถูกทำให้ลดลงมากสุดถึง 82% สำหรับค่าขนาดความแรงเท่ากับ 0.6 เมื่อเปรียบเทียบกับกรณีที่ค่า  $Re_d = 400$  สำหรับค่าขนาดความแรงเท่ากับ 0.1 ความยาวของเขตการไหลหมุนวนถูกทำให้ลดลงถึง 76% อย่างไรก็ตามจากผลการคำนวณของทั้งสองกรณีของ  $Re_d$  เรายังว่าอัตราการลดตัวของเขตการไหลหมุนวนมีค่าสูงในห้องความถี่ต่อจั่นกระทิ้งค่า  $\bar{X}_r$  อยู่ในตัวแหน่งต่ำสุด จากนั้นแล้วค่า  $\bar{X}_r$  ก็จะค่อยๆ เพิ่มขึ้นด้วยอัตราใหม่ที่ต่ำกว่าจนในที่สุด ค่า  $\bar{X}_r$  นี้มีแนวโน้มที่จะกลับไปสู่ค่า  $\bar{X}_r$  เดิมที่  $f = 0$  และ  $A = 0$

### 3.2 การถ่ายเทความร้อน (Heat Transfers)

สำหรับการถ่ายเทความร้อนของครีบ อัตราการถ่ายเทความร้อนของครีบจะถูกวัดจากค่าที่ขึ้นของนักเซลล์เฉพาะตำแหน่ง (local Nusselt number;  $NU_x$ ) ซึ่งค่า  $NU_x$  นี้จะปรับนัดตามตำแหน่งในkitigatang การไหล การวัดประสิทธิภาพการถ่ายเทความร้อนโดยรวมของครีบจะวัดได้จากการที่เฉลี่ยของนักเซลล์ (mean Nusselt number:  $NU_{mean}$ ) ดังสมการ

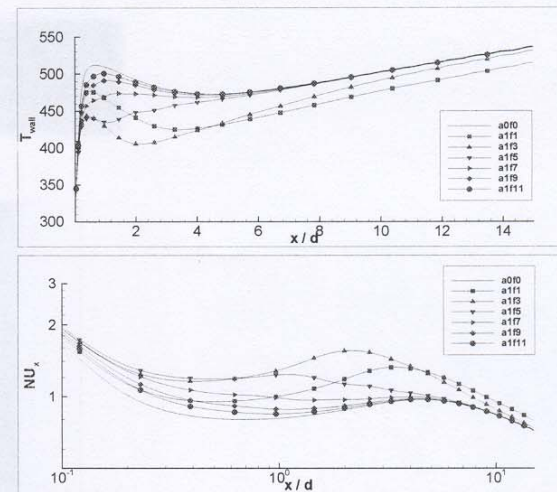
$$NU_{mean} = \int_{x_1}^{x_2} Nu(x) dx \quad (4)$$

ขนาดของเขตการไหลหมุนวนมีผลต่อประสิทธิภาพการถ่ายเทความร้อนของครีบ รูปที่ 5 แสดงความสัมพันธ์ระหว่างเขตการไหลหมุนวนในรูปเส้นลายของอุณหภูมิและการกระจายของค่าคงที่ของนักเซลล์ในขณะเวลาต้น ฯ พบร่วมกับเรื่องของการถ่ายเทความร้อนของครีบที่มีความถี่ต่อจั่นกระทิ้ง ( $x/d = 0-2$ ) ค่า  $NU_x$  มีค่าต่ำ ต่อจากนั้นมีการแตกตัวและการเคลื่อนที่ของวอร์เท็กซ์ขึ้น ( $x/d \sim 3.5$ ) ค่า  $NU_x$  ก็จะมีค่าสูงขึ้น ทั้งนี้เป็นผลมาจากการผสมผสานเป็นอย่างดีระหว่างของไหลด้านบนกับของไหลด้านล่างอันเนื่องมาจากความหมุนของตัวมันเองทำให้ความร้อนที่ผิวถูกถ่ายเทออกมากได้มาก



รูปที่ 5 ความสัมพันธ์ระหว่างเขตการไหลหมุนวน เส้นลวดลายอุณหภูมิ และการกระจายของค่าคงที่ของนักเซลล์:  $Re_d = 250$ ,  $A = 0.1$ ,  $f = 0.2$

รูปที่ 6 แสดงการกระจายของอุณหภูมิที่ผิวของครีบและค่าคงที่ของนักเซลล์เฉพาะตำแหน่งกรณี  $Re_d = 250$  ที่ค่าขนาดความแรงเท่ากับ 0.1 โดยการปรับนัดความถี่จาก 0.0, 0.1, 0.3,...,1.1 พบร่วมกับค่าความถี่ ค่าคงที่ของนักเซลล์เฉพาะตำแหน่ง ( $NU_x$ ) มีค่าสูงสุดที่ประมาณตำแหน่ง  $x/d = \bar{X}_r$  ซึ่งคล้ายกับการคำนวณของ Djilali [7]



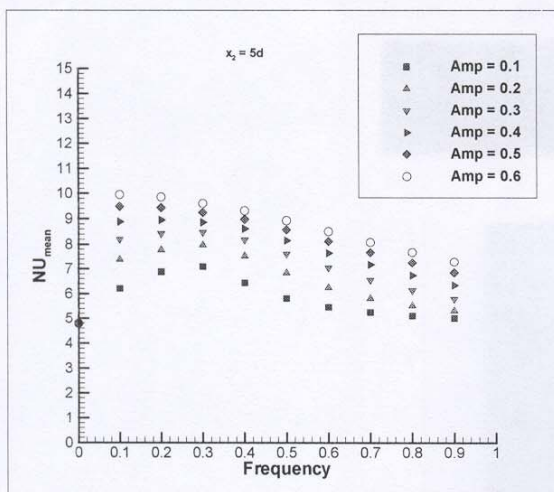
รูปที่ 6 การกระจายของอุณหภูมิที่ผิวและค่าคงที่ของนักเซลล์เฉพาะตำแหน่งที่ความถี่ต่างๆ กัน  $Re_d = 250$ ,  $A = 0.1$

จากการคำนวณพบว่าที่  $Re_d = 250$  ที่ค่าความถี่เดียวกันค่า  $NU_{mean}$  ปรับนัดโดยตรงตามค่าความแรง แต่ในการกลับกันราบร้าว่าที่ค่าความแรงเดียวกันค่า  $NU_{mean}$  ไม่ได้ปรับนัดโดยตรงตามค่าความถี่ค่า  $NU_{mean}$  จะเพิ่มตามค่าความถี่จนถึงจุดดูดแห้งจากนั้นก็จะค่อยๆ ลดลงเมื่อค่าความถี่เพิ่มขึ้นอย่างต่อเนื่องดังแสดงในรูปที่ 7 นอกจากนี้แล้วเรายังพบว่าที่ค่าขนาดความแรงต่ำประมาณ 0.1-0.3 ค่าความถี่ที่ให้ถ่ายเทความร้อนโดยรวมสูงสุด ( $NU_{mean}$  มีค่าสูงสุด) นี้ก็คือค่าความถี่เหมาะสมที่ทำให้ขนาดของ  $\bar{X}_r$  มีขนาดเล็กสุดนั้นเองจากการคำนวณที่  $Re_d = 250$ ,  $A = 0.1$  และ  $f = 0.1-0.3$  พบร่วมอัตราการถ่ายเทความร้อนโดยรวมมีค่าเพิ่มขึ้นประมาณ 23% 30% 32.5% ตามลำดับ

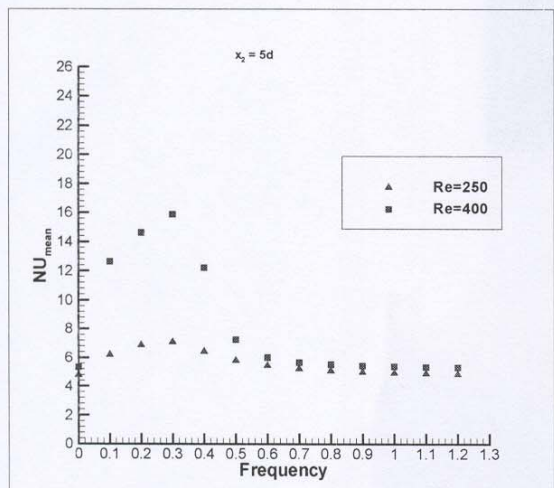
เมื่อค่าคงที่ของเรียโนลามีค่าสูงขึ้น แรงเนื้องจากความเรื้อย (inertia force) มีค่าสูง การไหลที่เกิดขึ้นมีแนวโน้มที่จะเกิดความไม่เสถียรร่ายขึ้นร้าบการกระตุ้นหรือการรบกวนที่กระแทกการไหลหลักจากการคำนวณที่  $Re_d = 400$ ,  $A = 0.1$  และ  $f = 0.1-0.3$  พบร่วมอัตราการถ่ายเทความร้อนโดยรวมมีค่าเพิ่มขึ้นประมาณ 57.4% 63.2% 66.3% ตามลำดับ ซึ่งเมื่อเทียบกับกรณีที่  $Re_d = 250$  แล้วพบว่าอัตราการถ่ายเทความร้อนมีค่าเพิ่มขึ้นเท่าตัวที่ค่าความถี่และค่าขนาดความแรงเท่ากัน ลักษณะการกระจายของค่าคงที่ของนักเซลล์ ค่าความถี่เหมาะสมของกรณี  $Re_d = 400$  มีความคล้ายคลึงกับกรณี  $Re_d = 250$  ดังแสดงในรูปที่ 8

จากผลนี้เองสามารถวิเคราะห์ได้ว่าในการเพิ่มประสิทธิภาพการถ่ายเทความร้อนของครีบค่าขนาดความแรงมีผลเป็นอย่างมาก

ทั้งนี้เนื่องจากความเร็วที่ไหลเข้ามีค่าสูงกว่าความเร็วกระแส อิสระปกติซึ่งเปรียบเสมือนกับการเพิ่มค่า  $Re_d$  ให้กับการไหลนั้นเอง ในทางตรงกันข้ามค่าความถี่มีผลต่อประสิทธิภาพการถ่ายเทความร้อน ในแก้วหัวความถี่ต่ำเท่านั้น



รูปที่ 7 ค่าคงที่เฉลี่ยของน้ำเหลวจากตำแหน่ง  $x_1 = 0$  ถึง  $x_2 = 5d$  ที่ ความถี่และค่าความเข้มต่างกัน:  $Re_d = 250$



รูปที่ 8 ค่าคงที่เฉลี่ยของน้ำเหลวจากตำแหน่ง  $x_1 = 0$  ถึง  $x_2 = 5d$  ที่ค่าความถี่ต่างกัน,  $A = 0.1$

#### 4. สรุปผลและขอเสนอแนะ(Conclusion and Future Suggestion)

การคำนวณเชิงตัวเลขในสองมิติในสภาพว่างไม่ถ่วงตัวผ่านครึ่งแลกเปลี่ยนความร้อนที่มีรูปทรงสี่เหลี่ยมผืนผ้าค่าความถี่ที่ของเรย์โนล เท่ากับ 250 และ 400 ที่มีกระแสการไหลเข้าเป็นจังหวะที่มีรูปแบบเป็น คลื่นไอน์ (sinusoidal wave) โดยมีตัวแปรสำคัญของกระแสการไหล เข้าที่เป็นจังหวะคือค่าความถี่และค่าขนาดความแรง จากการคำนวณ พบร่วมกระแสการไหลเข้าแบบเป็นจังหวะจะเป็นตัวก่อให้เกิดความไม่ เสถียรขึ้น ส่งผลให้การไหลที่เกิดเปลี่ยนจากสภาพว่างไม่ถ่วงเป็นสภาพว่าง

คงตัว จากการคำนวณพบว่าค่าความถี่และค่าขนาดความแรงมีผลอย่าง มากต่อขนาดของเขตการไหลหมุนวน ที่ค่าขนาดความแรงเท่ากับ 0.1 และค่าความถี่เหมาะสม ( $f = 0.3$ ) ค่าความยาวของเขตการไหลหมุนวน ถูกทำให้ลดลงสูงสุดถึง 33% สำหรับ  $Re_d = 250$  และ 76% สำหรับ  $Re_d = 400$

นอกจากนี้ยังพบว่าค่าความถี่และค่าขนาดความแรงมีผลอย่างมาก ต่อประสิทธิภาพการถ่ายเทความร้อนโดยรวม สำหรับค่าขนาดความ แรงต่ำ ( $A = 0.1-0.3$ ) อัตราการถ่ายเทความร้อนโดยรวมมีค่าสูงสุดที่ค่า ความถี่เหมาะสม ที่  $Re_d = 250$ ,  $A = 0.1$  และ  $f = 0.1-0.3$  พบร่วมอัตรา การถ่ายเทความร้อนโดยรวมมีค่าเพิ่มขึ้นประมาณ 23% 30% 32.5% ตามลำดับ และที่  $Re_d = 400$ ,  $A = 0.1$  และ  $f = 0.1-0.3$  พบร่วมอัตรา การถ่ายเทความร้อนโดยรวมมีค่าเพิ่มขึ้นประมาณ 57.4% 63.2% 66.3% ตามลำดับ ซึ่งมีค่าเพิ่มขึ้นเท่ากับเมื่อเทียบกับกรณีที่  $Re_d = 250$  ที่ความถี่และขนาดความแรงเท่ากัน งานวิจัยต่อไปที่น่าสนใจคือศึกษา ต่อเนื่องจากการวิจัยในครั้งนี้ในกรณีที่ค่า  $Re_d$  ของการไหลมีค่าสูงขึ้น ซึ่งการไหลจะเป็นแบบสภาวะไม่ถ่วงตัวก่อนที่จะถูกกระตุ้นด้วยกระแสการไหลเข้าเป็นจังหวะ

#### 7. กิตติกรรมประกาศ (Acknowledgment)

ขอขอบคุณกองวิชาชีวกรรมเครื่องกล ส่วนการศึกษา โรงเรียน นัยร้ายร้อยพระจุลจอมเกล้าในการเอื้อเฟื้อสถานที่ งานวิจัยในครั้งนี้ได้รับ ทุนอุดหนุนจากสำนักงานกองทุนสนับสนุนการวิจัยประจำปี 2545

#### เอกสารอ้างอิง (Reference)

1. Suksangpanomrung A., "Unsteady convective heat transfer over a bluff plat", Proceeding of the ME-NETT 14<sup>th</sup> Conference, Chiang Mai, Thailand, p. 1-7, 2000.
2. Hiller R. and Cheery N.J., "The effect of free stream turbulence on separation bubbles", *Journal of Wind Engineering and Industrial Aerodynamics*, 8:49-58, 1981.
3. Houligan K., Welch L.W., Thompson M.C., Cooper P.I. and Welsh M.C., "Augmented forced convection heat transfer in separated flow around a blunt flat plate", *Experimental Thermal and Fluid Sciences*, 4:182-191, 1991.
4. Ota T. and Kon N., "Heat transfer in the separated and reattached flow on a blunt flat plate", *Journal of Heat Transfer*, 94:459-462, 1974.
5. Djilali N., Neumann J., Bouhadji A., Boisson H. and Peneau F., "Effect of periodic upstream oscillations on separated flow", *Proc. 8<sup>th</sup> Conference of the CFD Society of Canada*, p.421-428, Montreal, 2000.
6. Lane J.C. and Loehrke R.I., "Leading edge separation from a blunt plate at low Reynolds number", *Transaction of ASME, Journal of Fluid Engineering*, 102:494-496, 1980.
7. Djilali N., "Force laminar convection in an array of stacked plates", *Numerical Heat Transfer Part A*, 25:393-408, 1994.